

F. Jan  
J. Zupan<sup>\*</sup>  
M. Horvat  
D. Kolar

Iskra IEZE, Ljubljana  
Institut "Jožef Stefan", Ljubljana  
<sup>#</sup>Kemijski institut " Boris Kidrič", Ljubljana

## NUMERIČNA TERMIČNA ANALIZA DEBELOPLASTNEGA VEZJA

### UVOD

Z naraščanjem gostote noči v mikroelektronskih vezjih je potrebno, da že pri načrtovanju predvidemo temperaturno porazdelitev v vezju. Razporeditev energijskih izvorov in ponorov (pasivnih ali aktivnih komponent vezja), mora biti takšna, da delavna temperatura v nobeni točki vezja ne presegne neke predvidene, maksimalne vrednosti. Pravilno termično načrtovanje vezja namreč močno poveča njegovo zanesljivost. Po kažetih tudi podatka, da se IV pri znižanju delavne temperature za  $30^{\circ}\text{C}$  poveča zanesljivost za faktor 2 (<sup>1</sup>), pri polprevodniških elementih pa bi znižanje delavne temperature od 175 na  $25^{\circ}\text{C}$  povečalo zanesljivost za faktor 600 (<sup>2</sup>).

### METODE TERMIČNE ANALIZE

Za termično analizo oz. termično načrtovanje debeloplastnega ali hibridnega vezja uporabljamo predvsem (<sup>3</sup>)

- neposredne analitične,
- grafične,
- eksperimentalne in
- matematične metode.

V nadaljevanju tega dela bomo obravnavali matematično metodo in računalniški program s katerim smo izračunali temperaturne porazdelitve na različnih vezjih in jih primerjali z eksperimentalnimi rezultati. Z matematično analizo smo žeeli

dobiti poleg temperaturnih porazdelitev še vplive posameznih materialnih konstant na termično obnašanje vezja. Izračunane temperaturne točke smo primerjali z eksperimentalnimi rezultati, ki smo jih dobili z uporabo infrardečega mikroskopa (4,5).

#### MATEMATIČNI PRISTOP IN PROGRAM

Ker nas zanima le stacionaren primer prevajanja toplote po substratu vezja (temperatura in funkcija časa) lahko enačbo za prevajanje toplote, ki velja za naš primer napišemo v obliki

$$\nabla^2 T + P - Q_1 - Q_2 = 0 \quad (1)$$

kjer je  $\nabla^2$  Laplaceov operator,  $T$  temperatura,  $P$  člen, ki vsebuje izvore toplote,  $Q_1$  in  $Q_2$  pa člena, ki prispevata k ohlajanju:  $Q_1$  s konvekcijo in  $Q_2$  s sevanjem.

Posamezni členi enačbe (1) so izraženi takole (6):

$$P = \frac{P_o}{4Kd\lambda^2}$$

$$Q_1 = \frac{h}{2Kd} \Delta T$$

$$Q_2 = \frac{\epsilon \sigma}{2Kd} (T^4 - T_a^4)$$

kjer pomenijo:

$P_o$  ..... posamezen toplotni izvor [W]

$K$  ..... toplotna prevodnost substrata [ $W/cm^2 \text{ } ^\circ\text{K}$ ], ki je funkcija temperature v obliki:

$$K = \alpha - \beta T$$

$d$  ..... debelina substrata [cm]

$l$  ..... dolžina elementa površine za katerega je enačba napisana [cm].

$h$  ..... koeficient konvekcije [ $W/cm^2 \text{ } ^\circ\text{C}$ ], ki je funkcija temperature v obliki:

$$\cdot h = \sqrt{T^{1/4}}$$

$\xi$  ..... emisijski koeficient (v našem primeru 0.88)

$\sigma$  ..... Stefan-Boltzmannova konstanta [ $\text{W/cm}^2 \text{K}^4$ ]

$T_a$  ..... temperatura okolice [ $^\circ\text{K}$ ]

Za numerično reševanje enačbe (1) smo keraničen substrat z natisnjениm vezjem razdelili na  $n \times m$  manjših kvadratkov, kot je to prikazano na sliki 1, ter za vsak kvadratek napišemo enačbo (1), ki se sedaj glasi:

$$T_{ij} = \frac{T_{i+1,j} + T_{i-1,j} + T_{i,j+1} + T_{i,j-1}}{4} - \frac{l^2 h}{2Kd} (T_{ij} - T_a) - \frac{\sigma \xi l^2}{2Kd} (T_{ij}^4 - T_a^4) + \frac{P_{ij}}{4Kd} \quad (2)$$

Faktor  $l^2$  je v vseh členih zaradi dimenzije Laplaceovega operatorja  $\nabla^2 [\text{cm}^2]$ . Člen, ki vsebuje  $P_{ij}$  je različen od nič samo za tiste kvadratke na substratu, na katerem je natisnjena elektronska komponenta, ki oddaja neko moč.

S tem smo dobili sistem  $m \times n$  enačb za  $m \times n$  temperatur  $T_{ij}$ . Priporočiti je treba, da se v skladu z geometrijo substrata posamezni členi enačte (2) na določenih mestih napišejo nekoliko drugače.

Za rob substrata dobimo izraz:

$$T_{ij} = \frac{T_\leftarrow + T_\downarrow + T_\rightarrow}{3} - \frac{l^2 h}{2Kd} \left(1 + \frac{d}{2l}\right) (T_{ij} - T_a) - \frac{\sigma \xi l^2}{2Kd} \left(1 + \frac{d}{2l}\right) \cdot (T_{ij}^4 - T_a^4) + \frac{P_{ij}}{3Kd} \quad (3)$$

Za vogal substrata pa:

$$T_{ij} = \frac{T_\downarrow + T_\rightarrow}{2} - \frac{l^2 h}{2Kd} \left(1 + \frac{d}{l}\right) (T_{ij} - T_a) - \frac{\sigma \xi l^2}{2Kd} \left(1 + \frac{d}{l}\right) (T_{ij}^4 - T_a^4) + \frac{P_{ij}}{2Kd}, \quad (4)$$

kjer pomenijo puščice kot indeksi pri temperaturi sestavljene kvadratke, ki jih je treba zamenjati in se pri drugačnem položaju kvadratka (drug rob ali vogal) ciklično zamenjajo.

$$(\leftarrow \downarrow \rightarrow , \downarrow \uparrow \rightarrow , \leftarrow \uparrow \rightarrow , \dots)$$

Za faktor  $\xi$ , ki nastopa v konvekciji smo pri numeričnem delu uporabljali izraz:

$$= 0.877 \cdot 10^{-4} \left( \frac{m \times n}{m + n} \right) l^{0,25} \cdot T^{0,25}$$

Diagram poteka računalniškega programa za reševanje našega problema je prikazan na sliki 2. S(I,J) in T(I,J) sta temperaturni polji, ki predstavljata substrat in ju izmenično izračunavamo. Specifične in splošne vrednosti A in B so izrazi, ki se v enačbi (2), (3) in (4) razlikujejo. A je enak 4,3 ali 2; B pa 1,  $(1 + \frac{d}{2\ell})$  ali  $(1 + \frac{C}{\ell})$ . Pripomniti je treba, da je konvergenca za to metodo sorazmeroma počasna in je tako za drobnejšo razdelitev substrata na manjše kvadratke precej zamudna celo na velikih računalnikih.

#### REZULTATI IN DISKUSIJA

Na sliki 3 je prikazana primerjava med eksperimentalnimi in teoretičnimi maksimalnimi temperaturami na substratu v odvisnosti od moči upora. Posamezne premice predstavljajo račune z različnimi koeficienti  $\alpha$  in  $\beta$  pri toplotni prevodnosti  $K$ . Vidimo, da s skrbno izbiro teh dveh koeficientov lahko zelo dobro ujamemo eksperimentalne podatke. Eksperimenti in računi so bili narejeni za substrat z velikostjo  $50 \times 50 \times 0,75 \text{ mm}^3$ , s tem da je izvor moči, v velikosti  $5 \times 5 \text{ mm}^2$ , natanko na sredini substrata.

Slika 4 kaže izračunani temperaturni profil tega substrata pri obremenitvi  $1,5 \text{ W}$ . Eksperimentalna vrednost maksimalne temperature je samo  $4^\circ\text{C}$  ali 7 % višja od vrednosti določene z računom.

Pri matematičnem modelu so bile narejene nekatere poenostavitev (<sup>7</sup>):

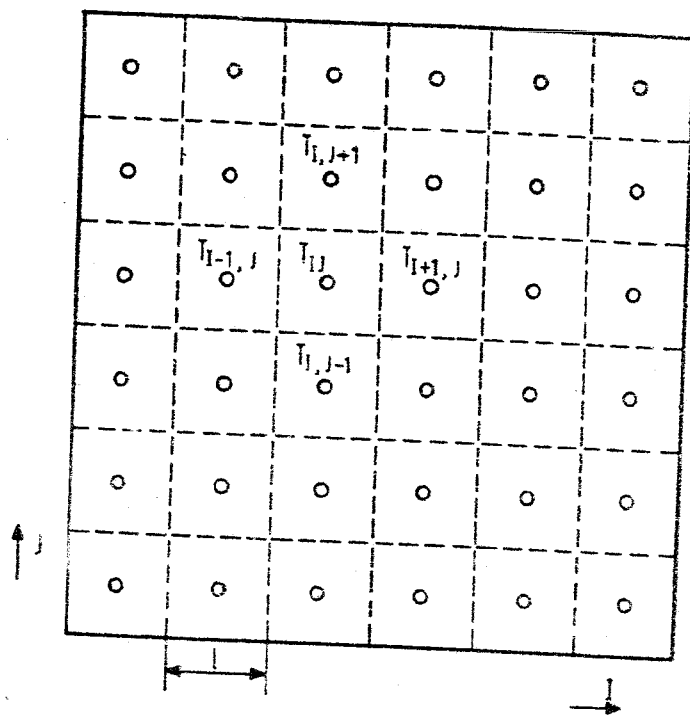
- za celotno površino substrata smo vzeli isto vrednost koeficiente emisije  $\epsilon$ ,
- predpostavili smo, da je temperaturni profil na obeh straneh substrata isti in
- da se nič topote ne izgubi preko električnih kontaktov.

Kljub poenostavitvam smo dobili dokaj zadovoljivo ujemanje, ki v prvi vrsti zagotavlja dobre relativne vrednosti temperaturnih profilov, pri skrbnejši analizi posameznih materialnih konstant (kot n.pr. topotne prevodnosti) pa tudi absolutno ujemanje.

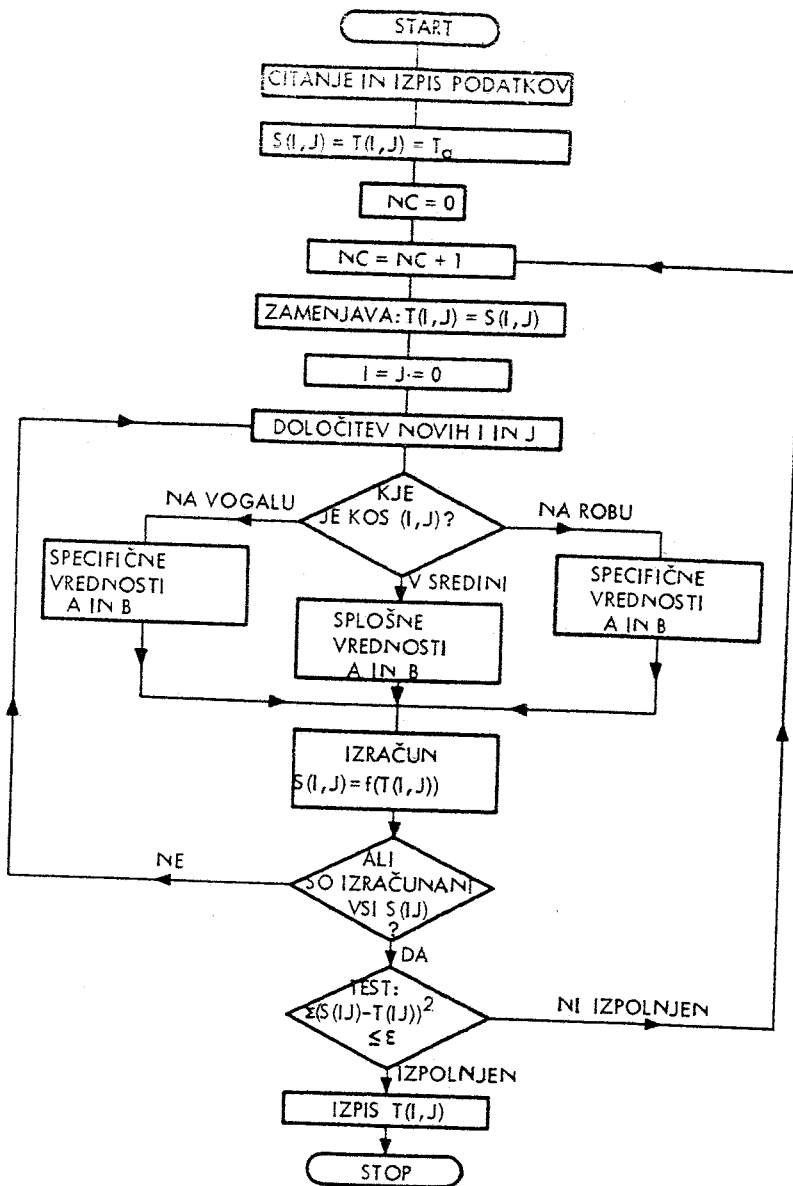
Delo je bilo opravljeno s finančno pomočjo Sklada Borisa Kidriča.

#### LITERATURA:

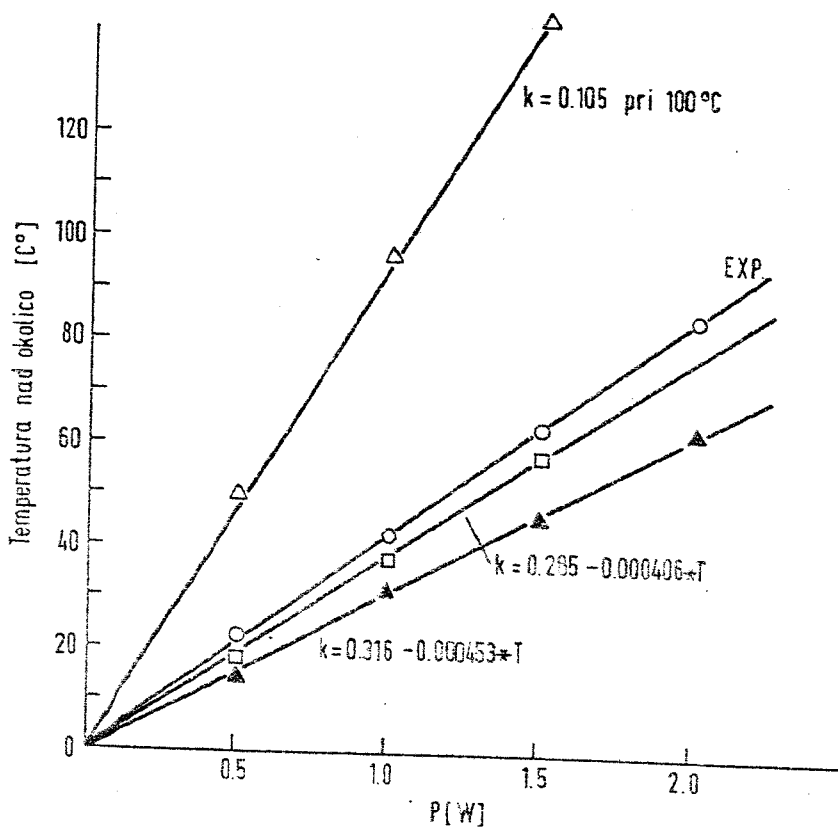
- 1 J.T. Hughes, Thermal Considerations in Hybrid Forms of Construction, Proceedings, International Conference on Hybrid Microelectronics, Kent 1973.
- 2 D.J. Dean  
Graphical and other Methods of Microcircuit Thermal Analysis at the desk. Proceedings, Internepon UK 1972.
- 3 D.J. Dean  
The Estimation of Temperature Distributions in Microelectronics Assemblies, AERE Report No C24/70
- 4 F. Jan, Thermal Analysis of Hybrid Thick film Microcircuits, Report Edinburgh University, School of Engineering Science, July 1971
- 5 F. Jan, Termična analiza hibridnih debeloplastnih vezij. Zbornik referatov - SD 71, (Ljubljana), str. 41-63
- 6 H.W. Emmons, The Numerical Solution of Heat - Conduction Problems. Trans. Am. Soc. Mech. Eng. 65 (1943) 607
- 7 J.H. Martin, V.F. Guntlow and D.P. Burke, Thermal Analysis of Ceramic - based Microcircuits, Electronic Components, June 1970.



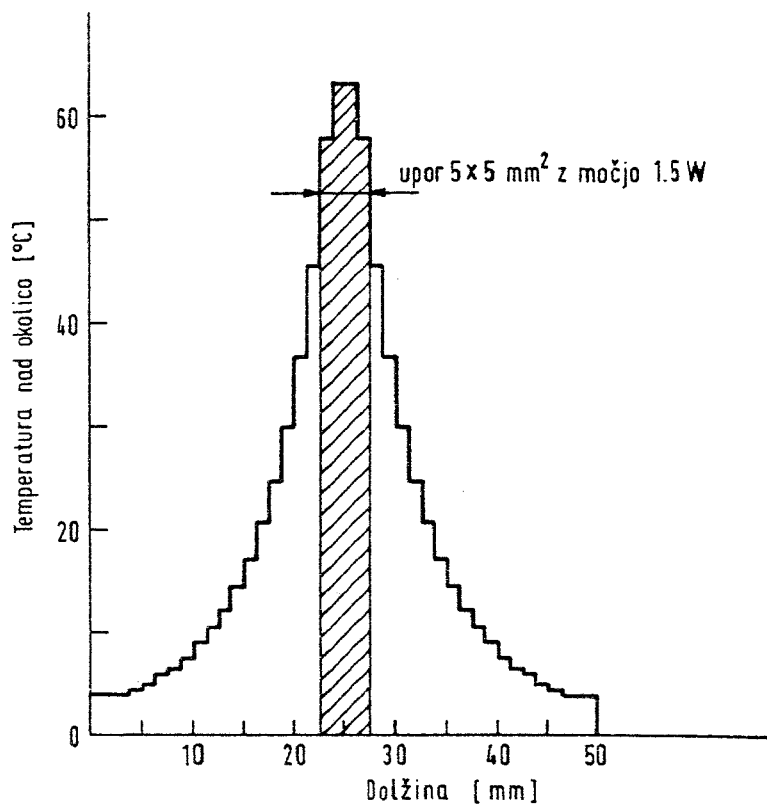
Slika 1: Substrat razdeljen v kvadratno mrežo



Slika 2



Slika 3 : Maksimalna temperatura na substratu v odvisnosti od moči upora.



Slika 4 : Temperaturni profil na substratu  $50 \times 50 \times 0.75 \text{ mm}^3$

